

И. В. СМОЛЕНЦЕВ, П. М. ШИПОВ

(Новосибирск)

ПВМС НА ОСНОВЕ $\text{Bi}_{12}\text{SiO}_{20}$, РАБОТАЮЩИЙ НА ПРОДОЛЬНО-ПОПЕРЕЧНОМ ЭЛЕКТРООПТИЧЕСКОМ ЭФФЕКТЕ

К настоящему времени на основе фотопроводящих электрооптических монокристаллов $\text{Bi}_{12}\text{SiO}_{20}$ (или $\text{Bi}_{12}\text{GeO}_{20}$) разработано два типа оптически управляемых ПВМС: ПРОМ и ПРИЗ. Принцип работы и функциональные возможности этих устройств подробно изучены в работах [1—3]. Отличительной особенностью ПРОМа является то, что в этом устройстве в качестве активного элемента используется пластина монокристалла, вырезанная в плоскости (100), при этом модуляция считывающего пучка осуществляется за счет продольного электрооптического эффекта. В ПРИЗе слой монокристалла вырезается в плоскости (111), что обеспечивает модуляцию считающего излучения за счет поперечного электрооптического эффекта. Передаточная характеристика ПРОМа, имея подъем в области низких пространственных частот, резко снижается при увеличении данного параметра. ПРИЗ, наоборот, хорошо передает высокие пространственные частоты и подавляет низкие. Естественно предположить, что гибридное устройство, работающее на продольно-поперечном электрооптическом эффекте, будет передавать более широкую полосу пространственных частот, чем ПРОМ или ПРИЗ в отдельности. В качестве возможной конструкции такого устройства можно предложить в общем случае структуру типа МДПДПМ, содержащую два слоя $\text{Bi}_{12}\text{SiO}_{20}$ (или $\text{Bi}_{12}\text{GeO}_{20}$), вырезанных в плоскостях (100) и (111).

Настоящая работа посвящена исследованию передаточной характеристики ПВМС на основе структуры МДПДПМ, включающей две пластины $\text{Bi}_{12}\text{SiO}_{20}$, вырезанные в указанных выше плоскостях (рис. 1). Назовем такое устройство ПРИМ (преобразователь изображений многослойный). Рассмотрим работу модулятора. Пусть в процессе записи в слоях $\text{Bi}_{12}\text{SiO}_{20}$ создано пространственно неоднородное распределение электрического заряда, модулирующее преломляющие свойства кристалла.

Считывающая плоская волна падает на ПРИМ нормально к его поверхности со стороны слоя кристалла, вырезанного в плоскости (100). Считая модулятор достаточно тонким (можно пренебречь дифракционными эффектами внутри устройства), связь между векторами поля входной и выходной волны можно выразить соотношением [4]

$$\mathbf{A}_{\text{вых}} = \hat{T} \mathbf{A}_{\text{вх}} = \hat{T}_2 \hat{T}_1 \mathbf{A}_{\text{вх}}, \quad (1)$$

где \hat{T} — матрица Джонса устройства в целом; \hat{T}_1 — матрица Джонса 1-го слоя $\text{Bi}_{12}\text{SiO}_{20}$, вырезанного в плоскости (100); \hat{T}_2 — матрица Джонса 2-го слоя кристалла, имеющего срез (111). Для матриц \hat{T}_1 и \hat{T}_2 с точностью до постоянного множителя можно написать:

$$\hat{T}_n = \begin{pmatrix} \cos \psi_n & -\sin \psi_n \\ \sin \psi_n & \cos \psi_n \end{pmatrix} \begin{pmatrix} e^{\frac{i\Delta\varphi_n}{2}} & 0 \\ 0 & e^{-\frac{i\Delta\varphi_n}{2}} \end{pmatrix} \begin{pmatrix} \cos \psi_n & \sin \psi_n \\ -\sin \psi_n & \cos \psi_n \end{pmatrix}, \quad n = 1, 2, \quad (2)$$

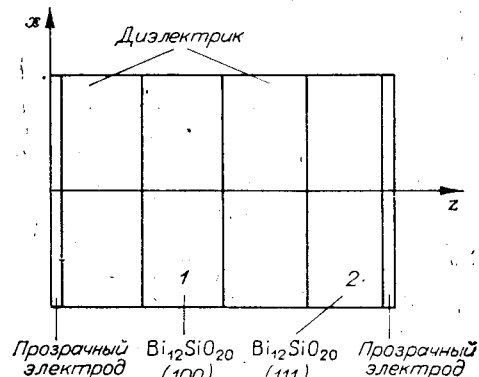


Рис. 1. Конструкция ПВМС, работающего на продольно-поперечном электрооптическом эффекте

где ψ_1 и ψ_2 — углы поворота главных осей сечения оптической индикаторы относительно координатных осей OX и OY для слоев кристалла 1 и 2 соответственно; $\Delta\varphi_1$ и $\Delta\varphi_2$ — разности фаз обыкновенной и необыкновенной волн, набегающие на слоях $\text{Bi}_{12}\text{SiO}_{20}$ 1 и 2 соответственно. Будем считать, что кристаллографические оси [010] слоя 1 и [110] слоя 2 параллельны координатной оси OX . Тогда согласно [3] имеем

$$\psi_1 = \pi/4; \quad (3)$$

$$\psi_2 = \pi/4 - \gamma/2, \quad (4)$$

где γ — угол между проекцией напряженности электрического поля на плоскость (111) во 2-м слое кристалла и осью [110]. Подставляя T_1 и T_2 из (2) в (1) и учитывая (3), (4), получим для элементов матрицы Джонса модулятора

$$T_{11} = \sin^2 \frac{\gamma}{2} \cos \left(\frac{\Delta\varphi_1 + \Delta\varphi_2}{2} \right) + \cos^2 \frac{\gamma}{2} \cos \left(\frac{\Delta\varphi_1 - \Delta\varphi_2}{2} \right) + \\ + \frac{i}{2} \sin \gamma \left[\sin \left(\frac{\Delta\varphi_1 + \Delta\varphi_2}{2} \right) - \sin \left(\frac{\Delta\varphi_1 - \Delta\varphi_2}{2} \right) \right]; \quad (5)$$

$$T_{12} = \frac{\sin \gamma}{2} \left[\cos \left(\frac{\Delta\varphi_1 - \Delta\varphi_2}{2} \right) - \cos \left(\frac{\Delta\varphi_1 + \Delta\varphi_2}{2} \right) \right] - \\ - i \left[\sin^2 \frac{\gamma}{2} \sin \left(\frac{\Delta\varphi_1 + \Delta\varphi_2}{2} \right) + \cos^2 \frac{\gamma}{2} \sin \left(\frac{\Delta\varphi_1 - \Delta\varphi_2}{2} \right) \right]; \quad (6)$$

$$T_{21} = \frac{\sin \gamma}{2} \left[\cos \left(\frac{\Delta\varphi_1 + \Delta\varphi_2}{2} \right) - \cos \left(\frac{\Delta\varphi_1 - \Delta\varphi_2}{2} \right) \right] - \\ - i \left[\sin^2 \frac{\gamma}{2} \sin \left(\frac{\Delta\varphi_1 + \Delta\varphi_2}{2} \right) + \cos^2 \frac{\gamma}{2} \sin \left(\frac{\Delta\varphi_1 - \Delta\varphi_2}{2} \right) \right]; \quad (7)$$

$$T_{22} = \sin^2 \frac{\gamma}{2} \cos \left(\frac{\Delta\varphi_1 + \Delta\varphi_2}{2} \right) + \cos^2 \frac{\gamma}{2} \cos \left(\frac{\Delta\varphi_1 - \Delta\varphi_2}{2} \right) - \\ - \frac{i}{2} \sin \gamma \left[\sin \left(\frac{\Delta\varphi_1 + \Delta\varphi_2}{2} \right) - \sin \left(\frac{\Delta\varphi_1 - \Delta\varphi_2}{2} \right) \right]. \quad (8)$$

Пусть распределение интенсивности света в записывающем пучке имеет вид

$$I(x) = I_0(1 + m \sin kx). \quad (9)$$

Согласно [3] разности фаз $\Delta\varphi_1$ и $\Delta\varphi_2$ можно представить в виде

$$\Delta\varphi_1 = \Delta\varphi_0 + \Phi_1(k) \sin kx; \quad (10)$$

$$\Delta\varphi_2 = \Phi_2(k) \cos kx. \quad (11)$$

Исследуем передаточную характеристику ПВМС типа ПРИМ. Под передаточной характеристикой ПВМС в данной работе будем понимать зависимость дифракционной эффективности от пространственной частоты. Подставляя (10) и (11) в (5) — (8) и воспользовавшись формулой [5]

$$e^{\pm z \sin t} = \sum_{n=-\infty}^{+\infty} J_n(z) e^{\pm int}, \quad (12)$$

где J_n — функция Бесселя первого рода n -порядка, находим для +1-го порядка дифракции

$$T_{11}^{(1)} = \frac{J_1(R)}{R} \left[\Phi_2(k) \cos \gamma \sin \frac{\Delta\varphi_0}{2} + i \left(\Phi_1(k) \sin \frac{\Delta\varphi_0}{2} + \right. \right. \\ \left. \left. + \Phi_2(k) \sin \gamma \cos \frac{\Delta\varphi_0}{2} \right) \right]; \quad (13)$$

$$T_{12}^{(1)} = \frac{J_1(R)}{R} \left[\Phi_2(k) \sin \gamma \sin \frac{\Delta\varphi_0}{2} - \right. \\ \left. - \Phi_1(k) \cos \frac{\Delta\varphi_0}{2} + i \Phi_2(k) \cos \gamma \cos \frac{\Delta\varphi_0}{2} \right]; \quad (14)$$

$$T_{21}^{(1)} = \frac{J_1(R)}{R} \left[-\Phi_2(k) \sin \gamma \sin \frac{\Delta\Phi_0}{2} - \right. \\ \left. - \Phi_1(k) \cos \frac{\Delta\Phi_0}{2} + i \Phi_2(k) \cos \gamma \cos \frac{\Delta\Phi_0}{2} \right]; \quad (15)$$

$$T_{22}^{(1)} = \frac{J_1(R)}{R} \left[\Phi_2(k) \cos \gamma \sin \frac{\Delta\Phi_0}{2} + \right. \\ \left. + i \left(\Phi_1(k) \sin \frac{\Delta\Phi_0}{2} - \Phi_2(k) \sin \gamma \cos \frac{\Delta\Phi_0}{2} \right) \right]. \quad (16)$$

Здесь

$$R = \sqrt{\Phi_1^2(k) + \Phi_2^2(k)}. \quad (17)$$

Если считающий пучок на входе имеет линейную поляризацию (например, вдоль оси OY), а за ПВМС установлен анализатор, ось которого параллельна OX , то из (1) и (13)–(16) получим для дифракционной эффективности ПРИМА

$$\eta = \frac{J_1^2(R)}{R^2} \left[\Phi_1^2(k) \cos^2 \frac{\Delta\Phi_0}{2} + \Phi_2^2(k) \left(\cos^2 \gamma \cos^2 \frac{\Delta\Phi_0}{2} + \right. \right. \\ \left. \left. + \sin^2 \gamma \sin^2 \frac{\Delta\Phi_0}{2} \right) - \Phi_1(k) \Phi_2(k) \sin \gamma \sin \Delta\Phi_0 \right]. \quad (18)$$

Функции модуляции разности фаз для продольного и поперечного электрооптического эффекта $\Phi_1(k)$ и $\Phi_2(k)$ подробно изучены в [3]. При низких пространственных частотах $\Phi_2(k) \sim 0$, а $\Phi_1(k)$ принимает максимальные значения. В этом случае вкладом слоя кристалла 2 в модуляцию считающего излучения можно пренебречь, и, следовательно, на низких пространственных частотах ПРИМ эквивалентен ПВМС типа ПРОМ. Имеем из (17) и (18) для дифракционной эффективности

$$\eta \approx \eta_{\text{пром}} = J_1^2(\Phi_1) \cos^2 \frac{\Delta\Phi_0}{2}. \quad (19)$$

На высоких пространственных частотах $\Phi_1(k) \ll \Phi_2(k)$. Найдем при этом из (17) и (18)

$$\eta \approx J_1^2(\Phi_2) \left(\cos^2 \gamma \cos^2 \frac{\Delta\Phi_0}{2} + \sin^2 \gamma \sin^2 \frac{\Delta\Phi_0}{2} \right). \quad (20)$$

Если учесть, что дифракционная эффективность ПВМС типа ПРИЗ $\eta_{\text{приз}}$ равна $J_1^2(\Phi_2) \cos^2 \gamma$ (получается из (17) и (18) при $\Delta\Phi_0 = \Phi_1(k) = 0$), то выражение (20) можно записать в виде

$$\eta \approx \eta_{\text{приз}} \left(\cos^2 \frac{\Delta\Phi_0}{2} + \operatorname{tg}^2 \gamma \sin^2 \frac{\Delta\Phi_0}{2} \right). \quad (21)$$

Таким образом, из формул (19) и (21) следует, что рассматриваемый модулятор при низких пространственных частотах работает как ПВМС типа ПРОМ, а на высоких пространственных частотах его передаточная характеристика пропорциональна передаточной характеристике ПРИЗа. Следовательно, ПРИМ сочетает в себе достоинства ПВМС типа ПРИЗ и ПРОМ: высокую разрешающую способность первого и способность второго эффективно передавать низкие пространственные частоты.

Из формулы (18) видно, что дифракционная эффективность рассматриваемого устройства зависит от угла γ , характеризующего ориентацию волнового вектора записываемой решетки относительно кристаллографических осей второго слоя кристалла. Следовательно, передаточная характеристика ПРИМА анизотропна. Определим коэффициент анизотропии передаточной характеристики выражением

$$K = (\eta_{\max} - \eta_{\min}) / (\eta_{\max} + \eta_{\min}). \quad (22)$$

Подставляя в (22) экстремальные значения дифракционной эффективности из выражения (18), найдем для коэффициента анизотропии:

$$\text{при } \arctg \frac{\Phi_2}{\Phi_1} \leqslant \Delta\varphi_0 \leqslant \frac{\pi}{2}$$

$$K = \frac{\Phi_1(k)\Phi_2(k)\sin\Delta\varphi_0}{\Phi_1^2(k)\cos^2\frac{\Delta\varphi_0}{2} + \Phi_2^2(k)\sin^2\frac{\Delta\varphi_0}{2}}; \quad (23)$$

$$\text{при } \Delta\varphi_0 \leqslant \arctg \frac{\Phi_2}{\Phi_1}, \frac{\pi}{2}$$

$$K = \frac{\Phi_2^2(k)\cos\Delta\varphi_0 + \Phi_1(k)\Phi_2(k)\sin\Delta\varphi_0}{2\Phi_1^2(k)\cos^2\frac{\Delta\varphi_0}{2} + \Phi_2^2(k) - \Phi_1(k)\Phi_2(k)\sin\Delta\varphi_0}. \quad (24)$$

Для низких пространственных частот, когда выполнено условие $\Phi_2(k) \ll \Phi_1(k)$, из (23) получаем для коэффициента анизотропии передаточной характеристики

$$K \approx 2 \frac{\Phi_2(k)}{\Phi_1(k)} \operatorname{tg} \frac{\Delta\varphi_0}{2}. \quad (25)$$

Как видно из выражения (25), при низких пространственных частотах анизотропия передаточной характеристики мала.

Для высоких пространственных частот ($\Phi_1(k) \ll \Phi_2(k)$) из (24) имеем

$$K \approx \cos\Delta\varphi_0 + (\Phi_1(k)/\Phi_2(k))\sin\Delta\varphi_0(1 + \cos\Delta\varphi_0). \quad (26)$$

Если при записи входного изображения экспозицию подобрать таким образом, чтобы $\Delta\varphi_0 \sim \pi/2$, то в этом случае, как видно из формулы (26), высокие пространственные частоты передаются модулятором практически изотропно.

Анализ выражений (23) и (24) для диапазона пространственных частот, где выполнено условие $\Phi_1(k) \sim \Phi_2(k)$, показывает, что при $0 \leqslant \Delta\varphi_0 \leqslant \pi/2$ коэффициент анизотропии передаточной характеристики варьируется в пределах 0,33–1,0.

Проведено экспериментальное исследование передаточной характеристики ПРИМа. Модулятор выполнялся в виде структуры типа МДПДПМ на основе монокристалла $\text{Bi}_{12}\text{SiO}_{20}$. Толщины обоих слоев кристалла составляли 100 мкм. Пластина $\text{Bi}_{12}\text{SiO}_{20}$, на которую прозрачный электрод наносится непосредственно, имела срез (111), второй слой кристалла вырезался в плоскости (100). Диэлектрическая прослойка между пластинами $\text{Bi}_{12}\text{SiO}_{20}$ представляла собой слой оптического клея толщиной 20 мкм. В качестве диэлектрического слоя между пластиной монокристалла, вырезанной в плоскости (100), и прозрачным электродом использовалась стеклянная пластина толщиной 100 мкм. Рабочая апертура исследовавшихся образцов составляла 38 мм. Напряжение, прикладываемое к прозрачным электродам модулятора, в процессе записи не превышало 8 кВ. На рис. 2, а в качестве иллюстрации возможностей предлагаемого устройства дано тестовое изображение, считываемое с ПВМС типа ПРИМ в некогерентном пучке излучения. На рис. 2, б, в для сравнения показано то же изображение, считываемое с ПВМС типа ПРОМ и ПРИЗ соответственно.

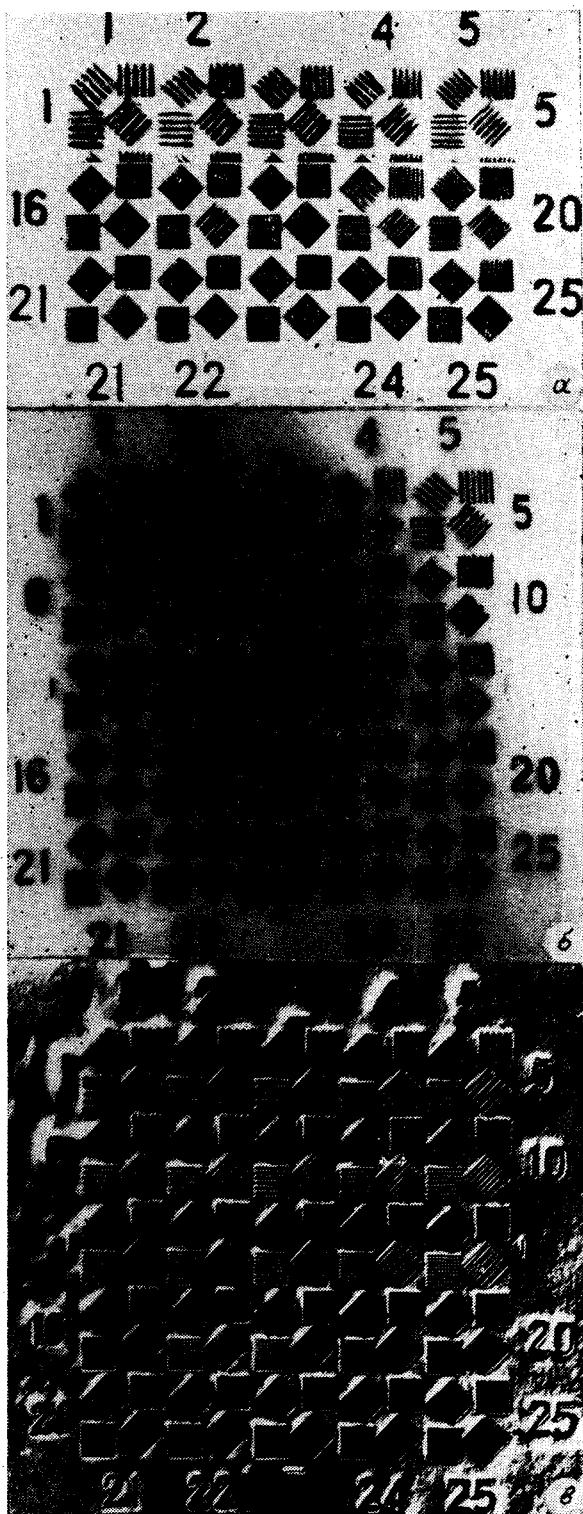
При исследовании передаточной характеристики модулятора в качестве входного изображения использовались транспаранты, коэффициент пропускания которых менялся по синусоидальному закону с разной частотой. Контраст синусоидальных решеток, записываемых на ПРИМ, составлял 0,9. Входное изображение с большой глубиной резкости проецировалось на модулятор со стороны слоя $\text{Bi}_{12}\text{SiO}_{20}$, вырезанного в плоскости (100). Полярность напряжения записи выбиралась так, чтобы прозрачный электрод со стороны входного изображения имел отрица-

Рис. 2. Считываемое с ПВМС тестовое изображение (с ПРИМа — *a*, ПРОМа — *b*, ПРИза — *c*)

ле-луча-лазера. Для измерения интенсивности считающего пучка на входе и в 1-м порядке дифракции использовался ФЭУ.

На рис. 3 (кривая 1) показана зависимость дифракционной эффективности модулятора от пространственной частоты. Кривая 1 соответствует экспозиции, при которой анизотропия передаточной характеристики на высоких пространственных частотах минимальна (данная экспозиция подбиралась экспериментально на пространственной частоте 20 mm^{-1}). Для сравнения на том же экспериментальном стенде и по той же методике проведено измерение передаточных характеристик ПВМС типа ПРОМ, ПРИЗ (см. рис. 3, кривые 2 и 3 соответственно). Сравнение представленных кривых показывает, что передаточная характеристика ПВМС, работающего на продольно-поперечном электрооптическом эффекте, спадает в области высоких пространственных частот значительно медленнее, чем аналогичная характеристика ПВМС типа ПРОМ.

Проведено исследование анизотропии передаточной характеристики ПВМС типа ПРИМ. В результате перебора ориентаций записывающей синусоидальной решетки относительно мо-



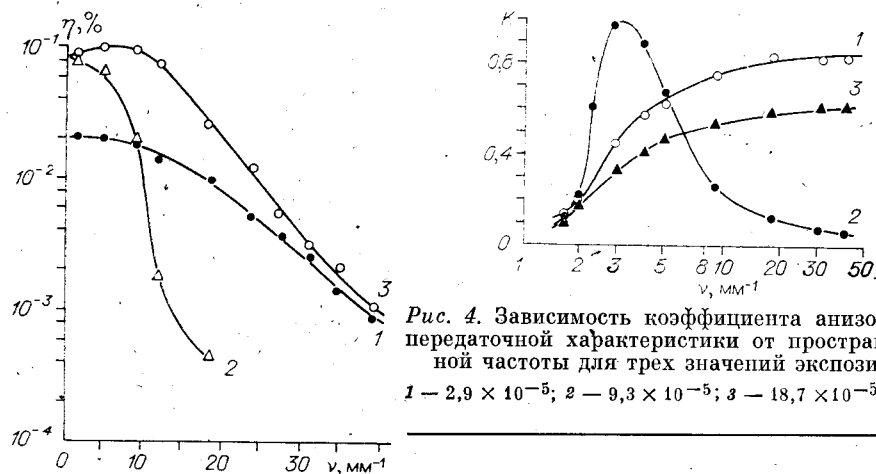


Рис. 3. Зависимости дифракционной эффективности от пространственной частоты для ПВМС типа ПРИМ (1), ПРОМ (2) и ПРИЗ (3)

эффициента передаточной характеристики (определенного по формуле (22)) от пространственной частоты (рис. 4). Видно, что для пространственных частот $v \geq 2 \text{ mm}^{-1}$ коэффициент анизотропии существенно зависит от экспозиции. При экспозициях $W \sim 9.3 \times 10^{-5} \text{ Дж}/\text{см}^2$ реализуется максимально широкий диапазон изотропности передаточной характеристики устройства.

Таким образом, предложен и реализован ПВМС на основе $\text{Bi}_{12}\text{SiO}_{20}$, работающий на продольно-поперечном электрооптическом эффекте. Приведено теоретическое исследование модуляционных свойств устройства. Результаты теоретического исследования подтверждаются экспериментальными данными. Установлено:

1. Для низких пространственных частот гибридное устройство эквивалентно ПВМС типа ПРОМ. На высоких пространственных частотах его передаточная характеристика приближается к передаточной характеристике ПВМС типа ПРИЗ.

2. Передаточная характеристика модулятора для пространственных частот $v \geq 2 \text{ mm}^{-1}$ существенно анизотропна, причем степень анизотропии зависит от экспозиции. При экспозициях $W \sim 9.3 \times 10^{-5} \text{ Дж}/\text{см}^2$ высокие пространственные частоты ($v \geq 10 \text{ mm}^{-1}$) передаются устройством практически изотропно.

ПРИМ, сочетающий в себе достоинства ПВМС типа ПРИЗ и ПРОМ (высокую разрешающую способность первого и способность второго эффективно передавать низкие пространственные частоты), представляется весьма перспективным элементом для оптической обработки информации.

В заключение авторы считают своим долгом выразить благодарность И. С. Гибину за внимание к работе и ценные замечания.

ЛИТЕРАТУРА

1. Lipson S., Nisenson P. Imaging characteristics of the ITEK PROM.—Apl. Opt., 1974, v. 13, N 9.
2. Petrov M. P., Khomenko A. V. e. a. Optical information recording in $\text{Bi}_{12}\text{SiO}_{20}$.—Ferroelectrics, 1978, v. 22, p. 651–653.
3. Петров М. П., Степанов С. И., Хоменко А. В. Фоточувствительные электрооптические среды в голограммии и оптической обработке информации.—Л.: Наука, 1983.
4. Джеррард А., Берн Дж. М. Введение в матричную оптику.—М.: Мир, 1978.
5. Корн Г., Корн Т. Справочник по математике.—М.: Наука, 1968.

Поступила в редакцию 27 августа 1985 г.